

妊娠期肝内胆汁淤积症患者外周血中维生素 D 受体与 Th1/Th2 型细胞因子的变化

喻莲香 黄小霞[△]

(广州市花都区妇幼保健院 广东广州 510800)

摘要 目的：研究妊娠期肝内胆汁淤积症患者外周血中维生素 D 受体的表达与 Th1/Th2 型细胞因子干扰素 - γ / 白细胞介素 -4 (IFN- γ /IL-4) 的变化关系，探讨 ICP 发病机制。方法：选取 ICP 患者 31 例 (ICP 组)，孕周相匹配的正常孕妇 31 例 (正常对照组)。采用酶联免疫吸附试验 (ELISA 法) 检测两组孕妇血清中 Th1 型细胞因子 (IFN- γ) 和 Th2 型细胞因子 (IL-4) 的水平；采用实时荧光定量逆转录 - 多聚酶链反应 (qRT-PCR) 检测两组孕妇外周血单个核细胞维生素 D 受体 (VDR) mRNA 的表达水平，采用 3- 磷酸甘油醛脱氢酶 (GAPDH) 为内参。根据相对定量公式 $2^{-\Delta\Delta CT}$ 分析 VDR mRNA 的表达水平。结果：(1) ICP 组外周血清中 IFN- γ 的浓度 [(230.93 ± 36.04) pg/ml] 明显高于正常对照组 [(138.37 ± 25.08) pg/ml]，差异有统计学意义 ($P < 0.01$)。ICP 组血清中 IL-4 浓度 [(9.99 ± 3.19) pg/ml] 和正常对照组 [(8.58 ± 2.43) pg/ml] 比较，差异无统计学意义 ($P > 0.05$)。ICP 组 IFN- γ /IL-4 比值 (24.56 ± 6.91) 高于正常对照组 (17.13 ± 4.84)，差异有统计学意义 ($P < 0.05$)。(2) ICP 组外周血单个核细胞维生素 D 受体 mRNA 的表达明显低于正常对照组 ($P < 0.01$)。正常对照组 VDR 的表达定义为 1.0，ICP 组的表达量为 0.4。(3) ICP 组外周血中 VDR 的表达水平与 IFN- γ 浓度呈明显负相关 ($r = -0.833, P < 0.01$)，与 IL-4 浓度无明显相关 ($r = -0.109, P > 0.05$)，与 IFN- γ /IL-4 比值呈负相关，但相关性不强 ($r = -0.356, P = 0.049 < 0.05$)。结论：ICP 患者外周血 Th1/Th2 型细胞因子平衡由 Th2 向 Th1 偏移，可能与 ICP 孕妇外周血单个核细胞 VDR 的表达减少有关。

关键词 维生素 D 受体 胆汁淤积 肝内 妊娠并发症 T 淋巴细胞亚群

中图分类号 R714.25 文献标识码 A 文章编号 :1673-6273(2012)08-1533-04

The Diversification of Vitamin D Receptor and Th1/Th2 Cytokines in Peripheral Blood of Patient with Intrahepatic Cholestasis of Pregnancy

YU Lian-xiang¹, HUANG Xiao-xia[△]

(Department of Gynecology and Obstetrics, Huadu Women and Children's Hospital and Health Institute, Guangzhou 510800, China)

ABSTRACT Objective: To study the relationship between the expression of the vitamin D receptor (VDR) and Th1/Th2 cytokines (IFN- γ /IL-4) profile in the peripheral blood of patients with intrahepatic cholestasis of pregnancy (ICP), so as to investigate the pathogen of ICP. **Methods:** There were 31 pregnant women with intrahepatic cholestasis of pregnancy and 31 normal pregnant women in the study. The T helper cell type-1 (Th1) cytokine [interferon-gamma (IFN- γ)] and T helper cell type-2 (Th2) cytokine [interleukin-4 (IL-4)] in the serum of patients with ICP (ICP group) and normal pregnant women (normal group, NP) were measured by enzyme linked immuno-sorbent assay (ELISA); The vitamin D receptor (VDR) expression in the peripheral blood mononuclear cells (PBMCs) was examined by real time fluorescent quantitative reverse transcriptase polymerase chain reaction (real-time qRT-PCR) in the two groups. Glyceraldehyde-3-phosphate Dehydrogenase (GAPDH) was used as an endogenous reference. VDR expression level were used by the $2^{-\Delta\Delta CT}$ method in the two group. **Results:** (1) The concentrations of IFN- γ in ICP group [(230.93 ± 36.04) pg/ml] was significantly higher than those in normal group [(138.37 ± 25.08) pg/ml] ($P < 0.01$). But there were no significant differences in the concentrations of IL-4 between ICP group [(9.99 ± 3.19) pg/ml] and normal group [(8.58 ± 2.43) pg/ml] ($P > 0.05$). The IFN- γ /IL-4 ratio in ICP group (24.56 ± 6.91) was higher than those in normal group (17.13 ± 4.84) ($P < 0.05$). (2) VDR expression in the peripheral blood mononuclear cells was found to be significantly lower (0.4) in all patients with ICP than that in normal pregnancy (1.0), $P < 0.01$. (3) In ICP group the correlation between the expression of VDR and the levels of IFN- γ was significantly negative ($r = -0.833, P < 0.01$); the correlation between the expression of VDR and the levels of IL-4 was not significant ($r = -0.109, P > 0.05$); the correlation between the expression of VDR and IFN- γ /IL-4 ratio was negative, but the relation was not significant ($r = -0.356, P = 0.049 < 0.05$). **Conclusions:** The cytokine profile shift from Th2-type to Th1-type in the peripheral blood, which may relate to the reduced expression of VDR in the peripheral blood mononuclear cells of the patients with ICP.

Key words: Vitamin D receptor; Cholestasis; Intrahepatic; Pregnancy complication; T-lymphocyte subsets

Chinese Library Classification(CLC): R714.25 Document code: A

Article ID:1673-6273(2012)08-1533-04

△通讯作者 黄小霞 电话 :13450256420

E-mail: 37029308@qq.com

(收稿日期 2011-09-10 接受日期 2011-10-16)

妊娠期肝内胆汁淤积症(intrahepatic cholestasis of pregnancy, ICP)是妊娠期特有的肝脏疾病，是以妊娠后期皮肤瘙痒为主要症状，伴胆酸、肝酶等生化异常^[1]，主要危及围生儿，引起早产、宫内窘迫、新生儿窒息、围生儿病死率高。ICP 的这些妊娠结局，已引起产科临床的关注^[2]。2004 年 1 月至 2008 年 12 月五年间在我院住院分娩的孕妇中，ICP 患者占 7.54%，ICP 胎儿窘迫的发生率为 32.2%，而死胎、死产率为 3.03%，占所有死胎、死产的 7.34%。但其病因及发病机制不明。国内外大量研究表明 ICP 的发生与免疫功能的改变有关^[3]。正常妊娠母体免疫系统是一种“Th2 现象”，Th1 向 Th2 偏移，Th2 的免疫占优势，避免 Th1 型细胞因子参与的细胞免疫，使胎儿免受母体排斥^[4]。然而，有研究表明 ICP 患者体内 Th1/Th2 型细胞因子平衡已由 Th2 向 Th1 方向偏移，细胞免疫功能增强，导致胚胎组织易被母体排斥^[5]。近年来研究表明 维生素 D 的活性物质 1,25-(OH)₂D₃，作为一种免疫调节激素，与维生素 D 受体(VDR)结合后发挥生物作用^[6]，主要作用的靶细胞是 Th1 细胞，其作用为直接抑制 Th1 细胞分泌 IFN-γ^[7]，而抑制 Th2 细胞分泌 IL-4 的作用较弱^[8]，可使 Th 细胞由 Th1 细胞向 Th2 细胞偏移^[9]，符合正常妊娠母体“Th2 现象”。

有文献报道外周血中 1,25-(OH)₂D₃ 的浓度在 ICP 孕妇与孕周相匹配的正常孕妇两者间比较，未见明显改变^[10]，但 1,25-(OH)₂D₃ 的生物学效应是通过 VDR 介导而实现，那么 ICP 孕妇与正常孕妇在 VDR 的表达方面是否存在差异，未见相关文献报道。Th1 型细胞因子有 IFN-γ、肿瘤坏死因子 α(TNF-α)、IL-2 等，Th2 型细胞因子有 IL-4、IL-5、IL-10 等^[5,11]。故本研究检测 ICP 患者外周血清中 Th1/Th2 型细胞因子(IFN-γ/IL-4)的浓度，同时研究其外周血单个核细胞维生素 D 受体的表达，初步探讨维生素 D 受体的表达变化与妊娠期肝内胆汁淤积症的关系，进一步阐明 ICP 的发病机制。

1 材料与方法

1.1 研究对象和分组

选择妊娠期肝内胆汁淤积症患者(ICP 组)31 例，均为 2008 年 8 月 -2009 年 1 月广州市花都区妇幼保健院产科住院病人，ICP 诊断标准参照文献^[12]。选择同期门诊或住院的正常晚期孕妇(正常对照组)31 例，正常对照组孕周与 ICP 组相匹配，且无妊娠并发症及合并症。两组产妇的临床资料如表 1 所示。研究对象均为初产妇，均系单胎妊娠，月经周期规律且正常，孕周确切，在孕早期经 B 超证实了孕周，采血前无产兆，无感染史、无血制品及免疫抑制剂或免疫增强剂使用史。研究对象均无 ICP 家族遗传史，且均于孕 20 周后常规口服“迪巧”(碳酸钙/维生素 D₃ 片)补钙。

1.2 方法

1.2.1 用 ELISA 法测外周血清中 IFN-γ 和 IL-4 含量 所有患者入院用药前，抽取各组妇女空腹肘静脉血 2ml，收集血清，-20℃ 冰箱冻存待测。采用酶联免疫吸附(ELISA)法检测 IFN-γ、IL-4 的浓度，IFN-γ、IL-4 的 ELISA 法试剂盒购自美国 R&D 公司。其中 IFN-γ 的批内差异与批间差异分别为 3.1% 和 7.4%，IL-4 的分别为 2.9% 和 5.1%。

1.2.2 用实时荧光定量 RT-PCR 测外周血 VDR 的表达 (1) 分

离出外周血单个核细胞：用肝素钠抗凝管抽取肘静脉血 5ml，用葡聚糖-泛影葡胺密度梯度离心法(淋巴细胞分离液)常规将 5ml 的外周血中单个核细胞分离出来，加入 0.4ml Trizol，于 -70℃ 冰箱冻存待测。

(2) 引物设计与合成：应用 Oligo 6.0 软件进行设计，由 TaKaRa 公司合成。VDR(238bp): 5'-TGA AGC GGA AGG A-GG AGG AG-3' 5'-GAG CAG GAG GAG GAG TC-3'。以 3-磷酸甘油醛脱氢酶(GAPDH)作为内参(138bp) 5'-GCA CC-G TCA AGG CTG AGA AC-3' 5'-TGG TGA AGA CGC CAG T-GG A-3'。

(3) 细胞总 RNA 提取：采用 Trizol(TaKaRa 公司)提取细胞总 RNA，操作按说明进行。提取后的 RNA 测 A260-A280 吸光值，要求 A260/A280 比值为 1.8-2.0，并计算出 RNA 含量。

(4) cDNA 的合成：采用 20 μl 反应体积，包括寡聚核苷酸引物 1 μl，2 μg 总 RNA，4 μl × 逆转录缓冲液，AMV 逆转录酶 2.2 μl，RNA 酶抑制剂 0.6 μl，dNTPs 1 μl，加去离子水至 20 μl，42℃ 40min，95℃ 10min 灭活逆转录酶，冰浴 5min。

(5) 实时荧光定量 RT-PCR：采用 TakaRa 公司的 SYBRR® Premix Ex Taq™ 荧光定量 PCR 试剂盒。反应体系为 50 μl cDNA 样品 4 μl，SYBR® Premix Ex TaqTM (2×) 25 μl，上、下游引物各 1 μl，ROX Reference Dye (50×) 1 μl，灭菌蒸馏水 18 μl。反应条件为 95℃ 10 s，95℃ 5 s，65℃ 31 s，共 40 个循环。95℃ 1 min 后制作熔解曲线，确定扩增产物的特异性。反应在 ABI 7300(美国 ABI 公司)扩增仪上进行。

(6) 扩增效率一致性检测 取一 cDNA 样品模板行 2 倍梯度稀释，VDR 和 GAPDH 分别进行荧光定量 PCR 反应，根据每个稀释度 VDR 和 GAPDH 值来计算 ΔCT 值 (VDR 和 GAPDH 基因的 CT 值之差)。以稀释倍数的 $-\log_2$ 值为横坐标，以 ΔCT 值为纵坐标作图比较两基因的扩增效率。经回归方程分析直线斜率为 0.0345(斜率 < 0.1)，表明 VDR 和 GAPDH 基因具有相同的扩增效率，可用 $\Delta\Delta CT$ 法计算 VDR 的相对表达量^[13]。

(7) VDR 相对定量的计算：研究组 VDR mRNA 的含量以 $2^{-\Delta\Delta CT}$ 表示，正常对照组 VDR 的表达水平定义为 1。其中 $\Delta\Delta CT = \Delta CT(\text{研究组}) - \Delta CT(\text{对照组})$ ， $\Delta CT = CT(VDR) - CT(GAPDH)$ 。

(8) 结果判断：每样本至少重复测三次，每个样本的 CT 值取平均值。熔解曲线分析发现 VDR 基因和 GAPDH 基因的 PCR 产物均呈较为锐利的单一峰，无引物二聚体及其他杂峰，说明扩增产物特异性好。

1.3 统计学处理

所有数据采用均数 ± 标准差($\bar{x} \pm s$)表示。采用 SPSS 16.0 软件统计分析，方差齐性时采用配对样本 t 检验、方差不齐时采用 Wilcoxon 符号秩和检验。相关分析采用 Pearson 检验。P < 0.05 为差异有统计学意义。

2 结果

2.1 临床资料

ICP 组孕妇外周血胆汁酸、谷丙转氨酶、谷草转氨酶均明显高于正常对照组，差异均有统计学意义(P < 0.05)；两组孕妇的年龄和孕周均无明显差异(P > 0.05)(见表 1)。

表 1 ICP 组与正常对照组的临床资料比较($\bar{x} \pm s$)

Table 1 Comparison of clinical data in the ICP group and NP group

Comparison of clinical data	ICP group (n=31)	NP group(n=31)	P
Years	27.12±4.28	28.74±2.27	P>0.05
Gestational age	35.25±2.07	35.43±1.84	P>0.05
Bile acid(mmol/L)	32.14±23.31	3.62±1.26	P<0.05
Alanine aminotransferase(U/L)	50.12±21.08	30.45±9.91	P<0.05
Aspartate aminotransferase (U/L)	46.11±18.21	27.38±7.41	P<0.05

2.2 两组孕妇外周血清中 IFN-γ 与 IL-4 的浓度比较

ICP 组外周血清中 IFN-γ 的浓度 [(230.93±36.04)pg/ml] 明显高于正常对照组 [(138.37±25.08)pg/ml]，差异有统计学意义 (P<0.01)；ICP 组血清中 IL-4 浓度 [(9.99±3.19)pg/ml] 和正常对照

组 [(8.58±2.43)pg/ml] 比较，差异无统计学意义 (P=0.067)；ICP 组 IFN-γ/IL-4 比值 (24.56±6.91) 高于正常对照组 (17.13±4.84)，差异有统计学意义 (P<0.05)。见图 1。

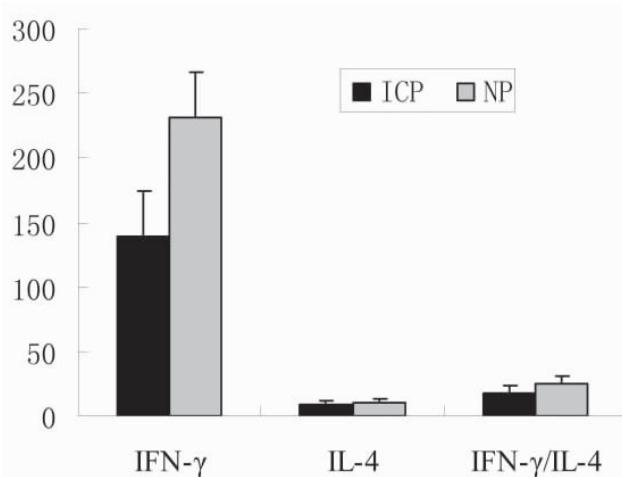


图 1 两组孕妇外周血清中 IFN-γ、IL-4 浓度和 IFN-γ/IL-4 比值的比较。
(ICP 代表 ICP 组 NP 代表正常对照组)。

Fig.1 Comparison of date of IFN-γ, IL-4, IFN-γ/IL-4 in the serum of the ICP group and NP group.(ICP is the ICP group NP is NP group)

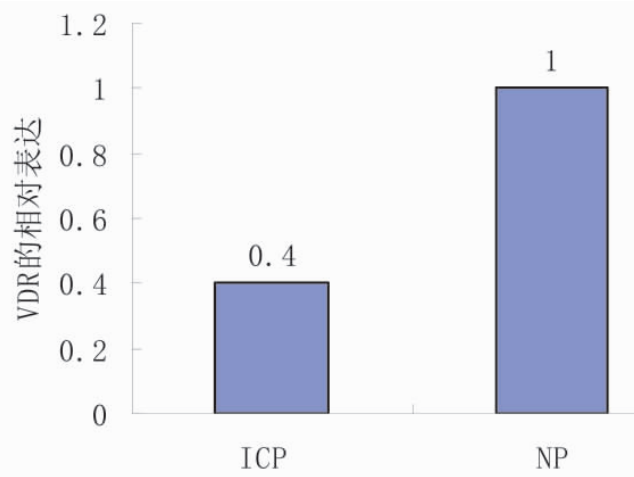


图 2 实时荧光定量 RT-PCR 检测外周血 VDR mRNA 的表达结果
NP 代表正常对照组。ICP 组中 VDR 的表达明显低于正常对照组(P<0.01)
Fig.2 The vitamin D receptor (VDR) expression in the PBMCs of the two groups. VDR expression was found to be significantly lower in all patients with ICP than that in normal pregnancy P<0.01

表 2 两组孕妇外周血单个核细胞 VDR 的表达比较
Table2 Comparison of VDR expression in the PBMCs in two groups

Group	Number	△CT	△△CT	2 ^{-△△CT}
ICP	31	5.11±0.69	1.60±0.24	0.40±0.14▲
NP	31	3.52±0.85	0	1

Note : ▲P<0.01 ICP group compared with NP group.

2.3 两组孕妇外周血单个核细胞 VDR 的表达

所有样本均检出有 VDR 与 GAPDH mRNA 的表达，用△△CT 法计算 VDR 的相对表达量，见表 2 与图 2。

2.4 ICP 组外周血中 VDR 的表达水平与 IFN-γ、IL-4 浓度和 Th1/Th2(IFN-γ/IL-4)比值的相关性

ICP 组外周血中 VDR 的表达水平与 IFN-γ 浓度呈明显负相关 ($r=-0.833$, $P<0.01$)，与 IL-4 浓度无明显相关 ($r=-0.109$, $P=0.558$)，与 IFN-γ/IL-4 比值呈负相关，但相关性不强 ($r=-0.356$, $P=0.049<0.05$)。

3 讨论

正常人体内的维生素 D 主要通过皮肤中的 7-脱氢胆固醇经紫外线照射后生成内源性维生素 D3 而获得，在体内经过一定的代谢后转变为具有生物活性的物质：1,25 二羟维生素 D3 [$1,25-(OH)_2D_3$] 而发挥作用。 $1,25-(OH)_2D_3$ 的生物学效应是由 $1,25-(OH)_2D_3$ 受体(VDR)介导^[14]。研究表明 VDR 除对钙、磷代谢有调节作用外，还具有多种重要的生物作用，如免疫调节、促进细胞的增殖与分化、影响中枢神经功能等^[15]。 $1,25-(OH)_2D_3$ 对

白细胞介素(IL)系统、干扰素(INF)、粒-巨噬细胞集落刺激因子(CM-CSF)、T细胞生长因子的活性及其他细胞因子的生长均有抑制作用^[16]。1,25-(OH)₂D₃作为一种免疫调节激素,主要作用的靶细胞是Th1细胞,其作用为减少Th1细胞的增生,抑制Th1细胞分泌IFN-γ和IL-2^[7,17]。对Th2类细胞的作用较小,对IL-4的生成影响较弱^[8]。

妊娠是一个复杂的生理过程,正常妊娠的维持有赖于母体对胎儿组织产生免疫耐受,这是母体免疫系统自身调节的结果。而T辅助淋巴细胞亚型(Th1, Th2细胞)及其分泌的细胞因子在这一过程中起重要调控作用^[18]。近年来,大量研究表明,正常妊娠是一种“Th2现象”,即妊娠期母体趋向于Th2型细胞因子参与的体液免疫,而避免Th1型细胞因子参与的细胞免疫^[4]。妊娠期间母体免疫系统从Th1向Th2方向转换,使胎儿免受母体排斥。Th1和Th2型细胞因子的平衡失调与多种妊娠并发症的发生有关^[19]。本研究检测ICP患者和正常妊娠孕妇外周血清中Th1型细胞因子IFN-γ和Th2型细胞因子IL-4的水平,结果提示,在ICP患者体内也存在Th1/Th2型细胞因子的分泌失衡。ICP患者外周血清中IFN-γ水平明显高于正常对照组,IL-4水平不变,使IFN-γ/IL-4比值升高,说明了ICP患者体内Th1/Th2型细胞因子平衡已由Th2向Th1方向偏移。

维生素D作为一种免疫调节激素,有文献报道外周血中1,25-(OH)₂D₃的浓度在ICP孕妇与孕周相匹配的正常孕妇两者间比较,未见明显差异^[10],但1,25-(OH)₂D₃的生物学效应是通过VDR介导而实现,ICP患者体内也存在免疫失衡,ICP孕妇与正常孕妇在VDR的表达方面是否存在差异?目前尚未见相关报道。本研究发现ICP孕妇外周血单个核细胞VDR的表达明显低于正常对照组,还发现在ICP组中VDR的表达水平越低,外周血清IFN-γ浓度就越高,且与IFN-γ浓度呈明显负相关,与IFN-γ/IL-4比值也呈负相关。这可能是由于介导1,25-(OH)₂D₃发挥生物学效应的VDR表达降低,削弱了其靶器官Th1细胞分泌IFN-γ的作用,使ICP患者体内Th1/Th2型细胞因子平衡由Th2向Th1方向偏移,破坏了正常妊娠母体“Th2现象”。本试验还发现在ICP组中VDR的表达水平与IL-4浓度无明显相关,说明ICP患者体内由Th2向Th1方向偏移现象,并非IL-4降低所致,而为IFN-γ升高所致。

IFN-γ是最主要的Th1型细胞因子,大量研究证明,IFN-γ不仅是免疫排斥反应的始动因素,而且在免疫应答,移植免疫排斥反应中也发挥重要作用^[5,11]。IFN-γ通过直接或间接激活自然杀伤细胞及诱导淋巴细胞因子活化的杀伤细胞的形成,介导迟发型超敏反应^[19];另外,IFN-γ还可抑制由生殖道局部产生的粒-单细胞集落刺激因子的产生,该因子具有促进胚胎发育的作用,IFN-γ抑制该因子的作用增强,可直接损害滋养层组织^[20],这些都可造成胎盘胎儿损害。因此ICP导致的不良妊娠结局发生可能与IFN-γ的过度表达有关。

综上所述,ICP患者外周血Th1/Th2型细胞因子平衡由Th2向Th1偏移,可能与ICP孕妇外周血单个核细胞VDR的表达减少有关。

参考文献(References)

- [1] Thomas P, Ulrich B. Intrahepatic cholestasis of pregnancy [J]. Orphanet Journal of Rare Diseases, 2007, 2(26):1-6
- [2] Lammert F, Marschall HU, Glantz A, et al. Intrahepatic cholestasis of pregnancy: molecular pathogenesis, diagnosis and management [J]. J Hepatol, 2000, 33(6):1012-1021
- [3] Pusl T, Beuers U. Intrahepatic cholestasis of pregnancy [J]. Orphanet Journal of Rare Diseases, 2007, 29(2):26
- [4] Vargas-Villavicencio JA, Morales-Montor J. Pregnancy, acquired immunity and parasitic diseases: main mechanisms associated to resistance or susceptibility[J]. Rev Invest Clin, 2007, 59(4):298-305
- [5] 彭冰, 刘淑芸. 辅助性T淋巴细胞亚型与妊娠期肝内胆汁淤积症发病的关系[J]. 中华妇产科杂志, 2002, 37(9):516-518
- [6] Margherita TC, Yan Z, Monica F, et al. Vitamin D status, 1,25-dihydroxyvitamin D3, and the immune system [J]. Am J Clin Nutr, 2004, 80 (6):1717-1720
- [7] Penna G, Amuchastegui S, Laverny G, et al. Vitamin D receptor agonists in the treatment of autoimmune diseases: selective targeting of myeloid but not plasmacytoid dendritic cells [J]. J Bone Miner Res, 2007, 22(Suppl 2):69-73
- [8] Baroni E, Biffi M, Benigni F, et al. VDR-dependent regulation of mast cell maturation mediated by 1,25-dihydroxyvitamin D3 [J]. Journal of Leukocyte Biology, 2007, 81(1):250-262
- [9] Froicu M, Cantorna MT. Vitamin D and the vitamin D receptor are critical for control of the innate immune response to colonic injury[J]. BMC Immunol, 2007, 30(8):5
- [10] Kuoppala T, Tuimala R, Parviainen N, et al. Vitamin D and mineral metabolism in intrahepatic cholestasis of pregnancy [J]. Eur J Obstet Gynecol Reprod Biol, 1986, 23(1-2):45-51
- [11] Liu W, Dan H, Wang Z, et al. IFN-gamma and IL-4 in saliva of patients with oral lichen planus: a study in an ethnic Chinese population[J]. Inflammation, 2009, 32(3):176-181
- [12] Zeyi Cao. Chinese Obstetrics and Gynecology [M]. 2nd edition, Beijing: People's Health Publishing House, 2004, 468-475
- [13] Kenneth JL, Thomas D. Analysis of Relative Gene Expression Data Using Real Time Quantitative PCR and the 2^{-ΔΔCT} Method[J]. METHODS, 2001, 12(62):402-408
- [14] Bednarski R, Donderski R, Manitius J. Role of vitamin D3 in arterial blood pressure control[J]. Pol Merkur Lekarski, 2007, 23(136):307-310
- [15] Birlea SA, Costin GE, Norris DA. Cellular and Molecular Mechanisms Involved in the Action of Vitamin D Analogs Targeting Vitiligo Depigmentation[J]. Current Drug Targets, 2008, 9(4):345-359
- [16] 王静. 1,25-二羟维生素D₃的免疫抑制作用[J]. 国外医学内科学分册, 2005, 32(3):130-134
- [17] Femke B, Evelyn VE, Lut O, et al. Vitamin D3 and the immune system: maintaining the balance in health and disease[J]. Nutrition Research Reviews, 2007, 20(1):106-118
- [18] Marzi M, Vigano A, Trabattoni D, et al. Characterization of type 1 and type 2 cytokine production profile in physiologic and pathologic pregnancy[J]. Clin Exp Immunol, 1996, 106 (1):127-133
- [19] Satio S, Sakai M, Sasaki Y, et al. Quantitative analysis of peripheral blood Th0, Th1, Th2 and the Th1/Th2 cell ratio during normal pregnancy and preeclampsia[J]. Clin Exp Immunol, 1999, 117 (3): 550-555
- [20] Higuma-Myojo S, Sasaki Y, Miyazaki S, et al. Cytokine profile of natural killer cells in early human pregnancy[J]. Am J Reproductive Immunology, 2005, 54 (1):21-29